

電工學

中冊

秦曾煌編

商務印書館



電工學

中冊

秦曾煌編

商務印書館

全書分三冊出版。上冊包括電路、磁路及電工測量部分；中冊包括電機、控制及供電部分；下冊包括工業電子技術與非電量的電測法部分。每冊均附有習題。

電 工 學

中 冊

秦 曾 煙 編

出版者 商務印書館香港分館
香港皇后大道中三五號

印刷者 商務印書館香港印刷廠
香港英皇道芬尼街二號 D
* 版權所有 *

1974年10月港第一版

中册目录

第二部分 电机、控制及供电

第八章 变压器	1
8-1. 变压器的功用.....	1
8-2. 变压器的构造.....	2
8-3. 变压器的作用原理.....	4
8-4. 变压器中的磁通势平衡.....	7
8-5. 变压器的外特性和电压变动率.....	9
8-6. 三相变压器.....	9
8-7. 变压器的功率与效率.....	11
8-8. 自耦变压器.....	13
8-9. 互感器.....	14
8-10. 电焊变压器.....	17
第九章 异步电动机	19
9-1. 电动机概述.....	19
9-2. 三相异步电动机的构造.....	20
9-3. 旋转磁场.....	23
9-4. 三相异步电动机的作用原理.....	27
9-5. 定子电路.....	28
9-6. 转子电路.....	30
9-7. 三相异步电动机中的磁通势平衡.....	33
9-8. 三相异步电动机的功率与效率.....	35
9-9. 三相异步电动机的转矩与机械特性.....	36
9-10. 三相异步电动机的起动.....	45
9-11. 双鼠笼式异步电动机.....	51
9-12. 三相异步电动机的逆转.....	52
9-13. 三相异步电动机的调速.....	52
9-14. 三相异步电动机的制动.....	55
9-15. 三相异步电动机功率因数的提高.....	57
9-16. 单相异步电动机.....	58

9-17. 两相异步电动机.....	61
9-18. 三相异步电动机的铭牌数据.....	62
9-19. 我国三相异步电动机的主要系列.....	64
第十章 同步电机.....	65
10-1. 同步电机的构造.....	65
10-2. 同步发电机.....	67
10-3. 同步电动机.....	71
10-4. 励磁电流对同步电动机运行情况的影响.....	74
第十一章 直流电机.....	76
11-1. 直流电机的用途.....	76
11-2. 直流电机的构造与基本作用原理.....	76
11-3. 直流电机的电枢绕组.....	79
11-4. 直流电机的电动势.....	82
11-5. 直流电机的电磁转矩.....	83
11-6. 电枢反应.....	85
11-7. 电流的换向.....	86
11-8. 直流发电机按励磁方法的分类.....	88
11-9. 他励发电机.....	89
11-10. 并励发电机.....	92
11-11. 复励发电机.....	95
11-12. 直流电动机按励磁方法的分类.....	96
11-13. 并励电动机的机械特性.....	96
11-14. 并励电动机的起动与逆转.....	100
11-15. 并励电动机的调速.....	101
11-16. 直流发电机-电动机组.....	105
11-17. 变磁电机放大机.....	107
11-18. 串励电动机.....	109
11-19. 复励电动机.....	113
第十二章 电动机的选择.....	114
12-1. 电力拖动概述.....	114
12-2. 电动机的发热与冷却.....	115
12-3. 电动机容量的选择.....	118
12-4. 电动机种类与型式的选择.....	127

第十三章 低压控制电器与基本控制线路	131
13-1 概述	131
13-2. 非自动电器	132
13-3. 自动电器	135
13-4. 继电接触器自动控制的基本线路	140
第十四章 工业企业供电与安全用电	149
14-1. 发电、输电概述	149
14-2. 工业企业配电	151
14-3 导线种类及其敷设	153
14-4. 根据发热选择导线截面和相应的熔断丝	154
14-5. 根据容许电压损失选择导线截面	157
14-6. 安全用电	161
14-7. 节约用电的意义和措施	164
附录	168
附录一 电工绝缘材料按耐热性能的分级	168
附录二 三相异步电动机的技术数据	169
习题	171
第八章	171
第九章	172
第十一章	174
第十二章	175
第十三章	177
第十四章	177

第二部分 电机、控制及供电

第八章 变压器

8-1. 变压器的功用

变压器是一种常见的电气设备，它的功用是根据生产上的需要将交变电压升高或降低，而不改变其频率。

在输电方面以用高压较为经济，其理由如下：我们知道，当输送功率 $P=UI \cos \varphi$ 及负载的功率因数 $\cos \varphi$ 为一定时，电压 U 越高，则输电线上的电流 I 越小；而线路的功率损失为

$$\Delta P_t = I^2 R_t = \left(\frac{P}{U \cos \varphi} \right)^2 \frac{l}{\gamma S} = K \frac{1}{U^2 S}. \quad (8-1)$$

可见，当输电距离 l 、输电线所用材料（电导率为 γ ）及输电线的截面积 S 为一定时，电压越高，则线路损失越小；当容许的线路损失为一定时，电压越高，则输电线的截面积越小。因此，高压输电可以达到输电经济的目的。我国国家标准所规定的输电线的额定电压有 35、60、110、154、220 及 330 千伏等几种，而通常发电机的端电压，因受到绝缘和制造技术上的限制，一般不高于 15.75 千伏，因此，要得到这样高的电压必须在发电的一端利用变压器将电压升高。

在用电方面则都是用低压的。这一方面是为了安全，另一方面是为了使受电设备的绝缘问题容易解决。所以，在用电的一端，还要利用变压器将输电电压降低。我国现行受电设备的额定电压如下：

电 灯：单相 220 伏。

电 热：单相 220 伏；三相 380 伏。

电动机：单相 220 伏；三相 380 伏、3000 伏、6000 伏。

最简单的电能输送系统如图 8-1 所示。



图 8-1. 最简单的电能输送系统。

此外，由于只有几种标准的电源电压，而实际应用上需要多种多样的电压，例如，供机床照明用的电压为 36 伏，电子管灯丝电压为 6.3 伏和 5 伏。采用变压器就能灵活地解决这个问题。

在输电系统中所使用的变压器称为电力变压器。此外，尚有自耦变压器、互感器及各种专用变压器（用于电焊、电炉及整流等）。变压器的种类很多，应用范围极广，但是它们的基本构造、作用原理以及分析它们的方法是相同的。

8-2. 变压器的构造

变压器由闭合铁心和高压、低压绕组等几个主要部分构成。按绕组与铁心配置的情况，变压器可分为心式和壳式两种。图 8-2 所示的是单相和三相心式变压器，图 8-3 所示的是单相壳式变压器。

心式变压器的用铁量比较少，构造比较简单，绕组的安装和绝缘也比较容易，因此变压器多半制成心式。壳式变压器的用铜量比较少，散热比较容易，常用作小型变压器和低压大电流的变压器（如电焊变压器、电炉变压器等）。

为了减少铁损，铁心通常用厚度为 0.35—0.5 毫米的硅钢片叠成，片与片之间互相绝缘。

变压器的绕组通常有筒形（图 8-2）和盘形（图 8-3）两种。采

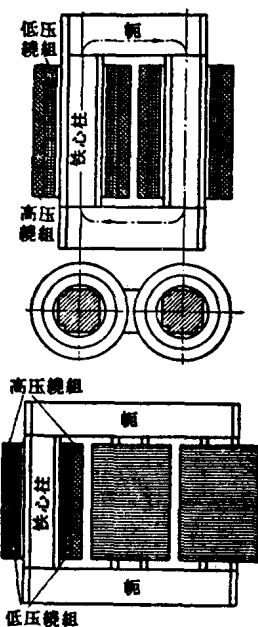


图 8-2. 单相和三相心式变压器。

用筒形繞組時，低壓繞組在內（其
電壓較低，容易與鐵心絕緣），高
壓繞組在外。採用盤形繞組時，則
高壓繞組與低壓繞組交替放置。

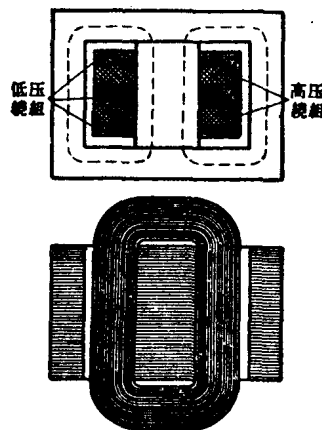


图 8-3. 单相壳式变压器。

由於變壓器在工作時要產生銅損和鐵損（見 6-5 节），故繞組
和鐵心都要發熱。因此，必須考慮變壓器的冷卻問題。變壓器的

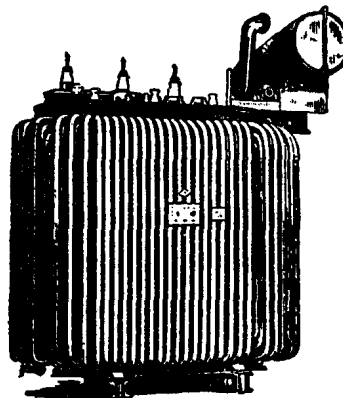


图 8-4. 具有散热油管的变压器。

冷却方式通常有空气自冷式和油冷式两种。小型变压器常借空气的对流作用以自冷。功率較大的則浸在变压器油中，利用油的对流作用以散热，油箱外壁装有散热片或油管（图 8-4）。大型变压器中还采用吹風或强迫油循环等冷却方式。

8-3. 变压器的作用原理

图 8-5 所示的是变压器的原理图。为了便于分析，我們將高压繞組和低压繞組分別画在两边。与电源相联的称为原繞組，与負載相联的称为副繞組。降压变压器的原繞組是高压繞組，副繞組是低压繞組。升压变压器則相反。原、副繞組的匝数分别为 N_1 和 N_2 。

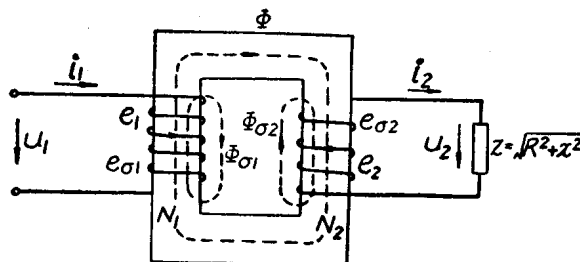
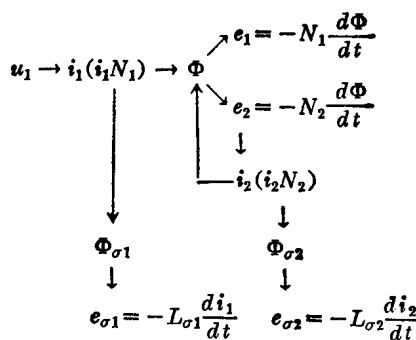


图 8-5. 变压器的原理图。

当原繞組接上交变电压 u_1 时，原繞組中便有电流 i_1 通过。原繞組的磁通势 i_1N_1 产生的磁通绝大部分通过铁心而閉合，从而在副繞組中感应出电动势。如果副繞組是閉合的，那么副繞組中就有电流 i_2 通过。副繞組的磁通势 i_2N_2 也产生磁通，其绝大部分也通过铁心而閉合。因此，铁心中的磁通是一个由原、副繞組的磁通势共同产生的合成磁通，它称为主磁通或工作磁通，用 Φ 表示。主磁通穿过原繞組和副繞組而在其中感应出的电动势分别为 e_1 和 e_2 。此外，原、副繞組的磁通势还分别产生漏磁通 $\Phi_{\sigma 1}$ 和 $\Phi_{\sigma 2}$ （仅与本繞組相鏈），从而在各自的繞組中分别产生漏磁电动势 $e_{\sigma 1}$ 和 $e_{\sigma 2}$ 。

上述的电磁关系可表示如下：



根据基尔霍夫第二定律，对原绕组电路可列出与式(6-14)相同的电压方程，即

$$u_1 + e_1 + e_{σ1} = i_1 R_1$$

或

$$\begin{aligned} u_1 &= i_1 R_1 + (-e_{σ1}) + (-e_1) \\ &= i_1 R_1 + L_{σ1} \frac{di_1}{dt} + (-e_1). \end{aligned} \quad (8-2)$$

通常原绕组上所加的是正弦电压 u_1 。在正弦电压作用的情况下，上式可用复数表示，即

$$\begin{aligned} \dot{U}_1 &= \dot{i}_1 R_1 + (-\dot{E}_{σ1}) + (-\dot{E}_1) \\ &= \dot{i}_1 R_1 + j \dot{i}_1 x_1 + (-\dot{E}_1) \\ &= \dot{i}_1 Z_1 + (-\dot{E}_1). \end{aligned} \quad (8-3)$$

式中 R_1 和 $x_1 = \omega L_{σ1}$ 分别为原绕组的电阻和感抗(漏磁感抗，由漏磁通产生)； $\dot{i}_1 Z_1$ 为原绕组阻抗上的电压降。

由于原绕组的电阻 R_1 和感抗 x_1 (或漏磁通 $\Phi_{σ1}$)较小，故电压降 $\dot{i}_1 Z_1$ 与主磁通电动势 \dot{E}_1 比较起来常可忽略，于是

$$\dot{U}_1 \approx -\dot{E}_1.$$

当电源电压 u_1 按正弦规律变化时，主磁通 Φ 也将按正弦规律变化。根据式(6-18)，感应电动势 e_1 的有效值为

$$E_1 = 4.44 f N_1 \Phi_m \approx U_1. \quad (8-4)$$

同理，对副繞組电路可列出

$$e_2 + e_{\sigma 2} = i_2 R_2 + u_2$$

或

$$\begin{aligned} e_2 &= i_2 R_2 + (-e_{\sigma 2}) + u_2 \\ &= i_2 R_2 + L_{\sigma 2} \frac{di_2}{dt} + u_2. \end{aligned} \quad (8-5)$$

如用复数表示，则为

$$\begin{aligned} \hat{E}_2 &= \hat{i}_2 R_2 + (-\hat{E}_{\sigma 2}) + \hat{U}_2 \\ &= \hat{i}_2 R_2 + j \hat{i}_2 x_2 + \hat{U}_2 \\ &= \hat{i}_2 Z_2 + \hat{U}_2. \end{aligned} \quad (8-6)$$

也可写成

$$I_2 = \frac{E_2}{\sqrt{(R_2 + R)^2 + (x_2 + x)^2}} \quad (8-7)$$

及

$$I_2 = \frac{U_2}{\sqrt{R^2 + x^2}}. \quad (8-8)$$

式中 $R_2, x_2 = \omega L_{\sigma 2}$ 和 R, x 分别为副繞組和負載的电阻与感抗； U_2 是副繞組的端电压。

感应电动势 e_2 的有效值为

$$E_2 = 4.44 f N_2 \Phi_m. \quad (8-9)$$

在变压器空载时，

$$I_2 = 0, \quad E_2 = U_{20},$$

式中 U_{20} 是空载时副繞組的端电压。

电动势 e_1 和 e_2 虽然同时由主磁通产生，但是它们的性质不同。 e_1 对电源讲是一个反电动势，因此电源电压 u_1 中有一个分量 $(-e_1)$ 是用来平衡它的；而 e_2 对负载讲是一个电源电动势，由它产生电流 i_2 。在式(8-2)及(8-5)中， u_1 和 e_2 是相对应的，它们都分

成三个分量以体现出它们的作用。

从(8-4)和(8-9)两式可見，由于原、副繞組的匝数 N_1 和 N_2 不相等，故 E_1 和 E_2 的大小是不等的，因而輸入电压 U_1 (电源电压) 和輸出电压 U_2 (負載电压)的大小也是不等的。因此，只要改变两繞組的匝数比，就可以得到任意大小的輸出电压。

原、副繞組的电压之比可由式(8-4)和(8-9)得出，即

$$\frac{U_1}{U_{20}} \approx \frac{E_1}{E_2} = \frac{N_1}{N_2} = k, \quad (8-10)$$

式中 k 称为变压器的变比，也就是原、副繞組的匝数比。

变比在变压器的銘牌上注明，它表示原、副繞組的額定电压之比，例如“6000/400 伏”($k=15$)。这表示原繞組的額定电压 $U_{1e}=6000$ 伏，副繞組的額定电压 $U_{2e}=400$ 伏。所謂副繞組的額定电压是指原繞組加上額定电压时副繞組的空載电压。

例 8-1. 有一6000/230 伏的降压变压器，其铁心截面积 $S=150$ 厘米²，磁感应强度的最大值 $B_m=12000$ 高斯，电源频率 $f=50$ 周/秒。試求原、副繞組的匝数。

解：根据已知数据可求出主磁通的最大值

$$\Phi_m = SB_m = 150 \times 12000 = 0.018 \times 10^8 \text{ 麦} = 0.018 \text{ 培。}$$

由式(8-4)可求出原繞組的匝数

$$N_1 = \frac{U_1}{4.44f\Phi_m} = \frac{6000}{4.44 \times 50 \times 0.018} = 1500.$$

副繞組的匝数則为

$$N_2 = N_1 \times \frac{U_{20}}{U_1} = 1500 \times \frac{230}{6000} = 58.$$

8-4. 变压器中的磁通势平衡

上节中曾經讲过，变压器有負載时的主磁通是由原、副繞組的磁通势($i_1 N_1 + i_2 N_2$)共同产生的。而在空載时，主磁通仅是由原繞組的磁通势 $i_0 N_1$ 产生的。 i_0 是空载时原繞組的电流，称为空載

电流。

但是，不論变压器是空載或是有負載，原繞組阻抗上的电压降总是可以忽略的，即

$$U_1 \approx E_1 = 4.44fN_1\Phi_m.$$

可見，当电源电压 U_1 及其頻率 f 不变时， E_1 和 Φ_m 也都近于常数。就是說，铁心中的交变磁通（主磁通）的最大值在变压器空載和有負載时是差不多不变的。因此，有負載时产生主磁通的原、副繞組的合成磁通勢也應該和空載时产生主磁通的原繞組的磁通勢差不多相等，即

$$i_1 N_1 + i_2 N_2 = i_0 N_1. \quad (8-11)$$

如用复数表示，则为

$$\dot{i}_1 N_1 + \dot{i}_2 N_2 = \dot{i}_0 N_1. \quad (8-12)$$

变压器的空載电流起励磁作用。由于铁心的磁导率高，这个电流是很小的。它的有效值 I_0 在原繞組額定电流 I_{1e} 的 10% 以內。因此，原繞組空載时的磁通勢 $I_0 N_1$ 与有負載时的磁通勢 $I_1 N_1$ 相比，常可忽略。于是式(8-12)可写成

$$\dot{i}_1 N_1 \approx -\dot{i}_2 N_2, \quad (8-13)$$

即有負載时原、副繞組的磁通勢在相位上差不多相反。就是說，副繞組的磁通勢对原繞組的磁通勢有去磁作用。

由式(8-13)也可得出原、副繞組的电流关系，即

$$\frac{I_1}{I_2} \approx \frac{N_2}{N_1} = \frac{1}{k}. \quad (8-14)$$

上式表明变压器原、副繞組的电流之比近似等于它們的匝数比的倒数。可見，变压器中电流虽然由負載的大小确定，但是原、副繞組中电流的比值差不多不变；因为当負載增大时，副繞組的电流 I_2 和磁通勢 $I_2 N_2$ 随着增大，而原繞組的电流 I_1 和磁通勢 $I_1 N_1$ 也必須相应增大，以抵偿副繞組的电流和磁通勢对原繞組的去磁

作用，从而維持主磁通近于不变。

8-5. 变压器的外特性和电压变动率

从式(8-3)和式(8-6)可以看出，当电源电压 U_1 不变时，随着副繞組电流 I_2 的增加（負載增加），原、副繞組阻抗上的电压降便增加，这将使副繞組的端电压 U_2 发生变动^①。当电源电压 U_1 和負載功率因数 $\cos\varphi_2$ 为常数时， U_2 和 I_2 的变化关系可用所謂外特性曲綫 $U_2=f(I_2)$ 来表示，見图 8-6。

对于电阻性和电感性負載而言，电压 U_2 随电流 I_2 的增加而下降。它的下降程度随負載的功率因数而异，功率因数愈低，下降愈甚。

通常希望电压 U_2 的变动愈小愈好^②。从空載到額定負載，副繞組电压的变动程度用电压变动率 Δu 表示，即

$$\Delta u = \frac{U_{20} - U_2}{U_{20}} \times 100\%. \quad (8-15)$$

在一般电力变压器中，由于其电阻和漏磁感抗均甚小，电压变动率是不大的，約為 5% 左右。

8-6. 三相变压器

要变换三相电压可以用三只同样的单相变压器，把它们的高压繞組和低压繞組分別联成星形或三角形。在图 8-7 中是 Y/Δ

^① 負載发生变动时，主磁通 Φ_m 和由它所产生的电动势 E_1 及 E_2 只是基本上不变，实际上也是有点变动的。

^② 但如系电焊变压器，则应有迅速下降的外特性，見 8-10 节。

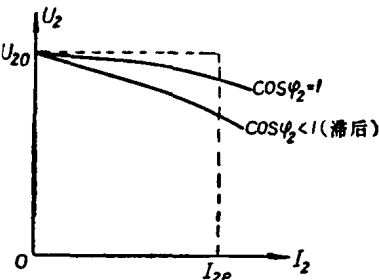


图 8-6. 变压器的外特性曲綫。

联接。各相高压绕组的始端和末端分别用 A, B, C 和 X, Y, Z 表示，低压绕组则用 a, b, c 和 x, y, z 表示。

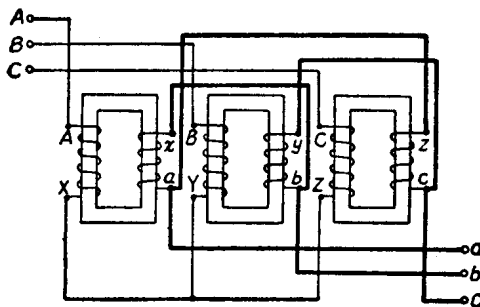


图 8-7. 单相变压器的三相联接。

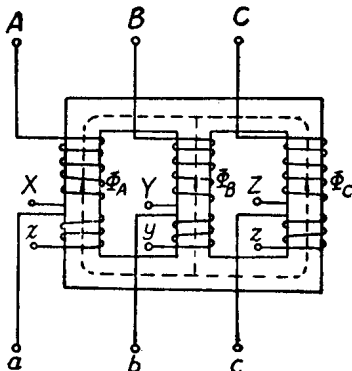


图 8-8. 三相变压器。

大容量的电力变压器通常由三只相同的单相变压器联成，而在中、小容量的情况下，变换三相电压通常用三相变压器，其结构如图 8-8 所示。每相的高、低压绕组分别放置在三个铁心柱上。每相的作用原理完全和前述的单相变压器一样。

三相变压器绕组通常的联接方式如图 8-9a 和 b 所示。 Y/Y_0 联接常用于具有电力和照明的混合负载的情况。高压绕组的线电压在 35 千伏以下；低压绕组带有中线，以便得到两种电压。电动机用线电压（例如 380 伏），而电灯则用相电压（例如 220 伏）。在 Y/Δ 联接的情况下，高压绕组联成星形，低压绕组联成三角形；这种联接方式既可用来升压，也可用来降压。

变压器的高压绕组通常都联接成星形；因为这时每相绕组上

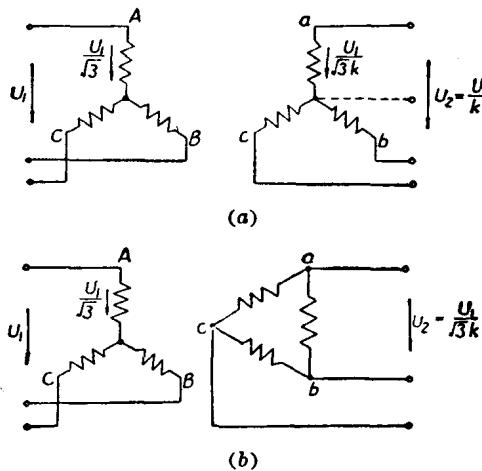


图 8-9. 三相变压器的联接法举例：

(a) Y/Y_0 联接; (b) Y/Δ 联接。

的电压只是线电压的 $\frac{1}{\sqrt{3}}$ ，铁心截面(用铁量)可以减小，并可降低对绝缘的要求。变压器的低压绕组在很多情况下联接成三角形；因为这时每相绕组中的电流只是线电流的 $\frac{1}{\sqrt{3}}$ ，导线截面(用铜量)可以减小。

8-7. 变压器的功率与效率

变压器的尺寸主要决定于它的额定电流 I_e 和额定电压 U_e ，因为前者决定了导线的截面和绕组的尺寸，后者与铁心中的磁通近于成正比(见式 8-4)，因而决定了铁心的尺寸。因此，变压器的额定容量(标在铭牌上)是以额定视在功率 S_e 来表示的。单相和三相变压器的额定容量分别为

$$S_e = U_{2e} I_{2e} \approx U_{1e} I_{1e}; \quad (8-16)$$

$$S_e = \sqrt{3} U_{2e} I_{2e} \approx \sqrt{3} U_{1e} I_{1e}. \quad (8-17)$$

三相变压器铭牌上所标的电压、电流值都是指线电压和线电流的